

Решение уравнения Лапласа методом конечных элементов с помощью FEniCS

Шклярник Ю.Н., 6 группа, 3 курс

Глава 1

Решение задачи на прямоугольной области с разрывными граничными условиями Дирихле

1.1 Постановка задачи

Рассчитать поле, порождаемое заряженной пластиной в однородной среде.

1.2 Математическая модель

$$\begin{cases} \Delta u = 0, \\ u(0, y) = 0, \quad u(a, y) = 0, \\ u(x, 0) = 0, \quad u(x, b) = f(x), \end{cases} \quad (1.1)$$

где $f(x) = \alpha I_{[l, r]}(x)$.

1.3 Аналитическое решение

Воспользуемся методом разделения переменных. Будем искать решение в виде

$$u(x, y) = X(x)Y(y).$$

Получаем систему уравнений

$$\frac{X''(x)}{X(x)} = -\frac{Y''(y)}{Y(y)} = -\lambda. \quad (1.2)$$

Задача Штурма-Лиувилля для $X(x)$:

$$\begin{cases} X''(x) + \lambda X(x) = 0, \\ X(0) = X(a) = 0. \end{cases} \quad (1.3)$$

Получаем собственные значения:

$$\sqrt{\lambda_n} = \mu_n = \frac{\pi n}{a}.$$

Собственные функции для задачи (1.3) с точностью до константы имеют вид

$$X_n(x) = \sin \mu_n x.$$

Задача для $Y(y)$:

$$\begin{cases} Y_n''(x) - \lambda_n Y_n(x) = 0, \\ Y_n(0) = 0. \end{cases} \quad (1.4)$$

Имеем

$$Y_n(y) = C_{n1} e^{-\mu_n y} + C_{n2} e^{\mu_n y} \quad (1.5)$$

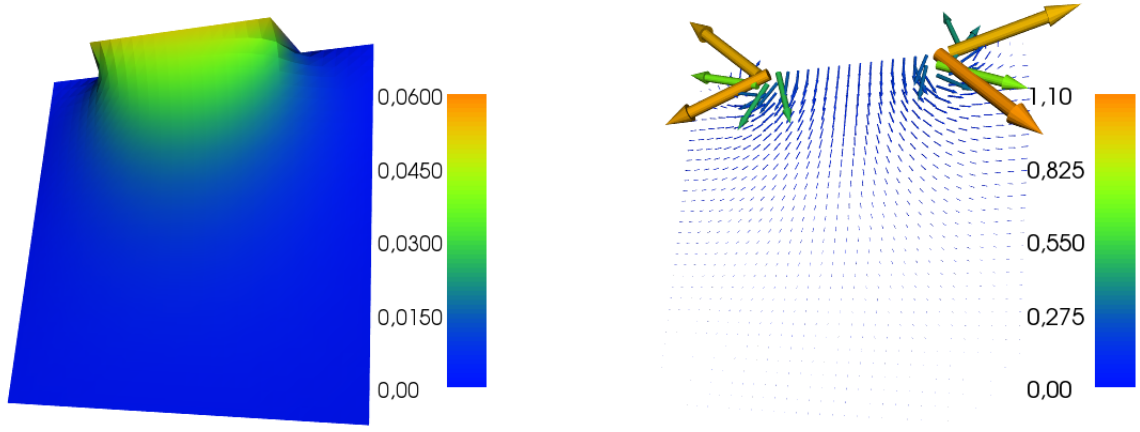


Рис. 1.1: Визуализация потенциала и напряжённости, полученных методом конечных элементов

$$Y_n(0) = C_{n_1} + C_{n_2} = 0.$$

Значит,

$$Y_n(y) = C_n \operatorname{sh} \mu_n y \quad (1.6)$$

$$u(x, y) = \sum_{n=1}^{\infty} C_n \operatorname{sh} \mu_n y \sin \mu_n x \quad (1.7)$$

$$\begin{aligned} C_n &= \frac{2}{b \operatorname{sh} \mu_n b} \int_0^b f(x) \sin \mu_n x dx = \frac{2\alpha}{b \operatorname{sh} \mu_n b} \int_l^r \sin \mu_n x dx = \frac{2\alpha}{b \mu_n \operatorname{sh} \mu_n b} (\cos \mu_n l - \cos \mu_n r) = \\ &= \frac{4\alpha}{b \mu_n \operatorname{sh} \mu_n b} \sin \frac{\mu_n}{2} (l + r) \sin \frac{\mu_n}{2} (r - l). \end{aligned} \quad (1.8)$$

Окончательное решение:

$$u(x, y) = \frac{4\alpha}{b} \sum_{n=1}^{\infty} \frac{\sin \left(\frac{\mu_n}{2} (l + r) \right) \sin \left(\frac{\mu_n}{2} (r - l) \right)}{\mu_n \operatorname{sh} \mu_n b} \operatorname{sh} \mu_n y \sin \mu_n x. \quad (1.9)$$

1.4 Решение методом конечных элементов

1.4.1 Слабая формулировка задачи

Домножим уравнение $\Delta u = 0$ на пробную функцию v и проинтегрируем по области $\Omega = (0, a) \times (0, b)$:

$$\int_{\Omega} v \Delta u dx = 0. \quad (1.10)$$

По формуле интегрирования по частям,

$$\int_{\Omega} v \Delta u dx = \int_{\partial \Omega} v \frac{\partial u}{\partial n} ds - \int_{\Omega} \nabla v \nabla u dx = - \int_{\Omega} \nabla v \nabla u dx. \quad (1.11)$$

Слабая формулировка задачи:

$$\int_{\Omega} \nabla v \nabla u dx = 0 \quad (1.12)$$

1.4.2 Визуализация

Визуализация для случая $a = b = 1$, $n = 30$, $\alpha = 0.05$.

1.4.3 Оценка скорости сходимости численного решения

Зададим шаг равномерной прямоугольной сетки $h = \frac{1}{n}$. Произведём эксперименты с $h_0 > h_1 > h_2 > \dots$ и получим соответствующие невязки e_0, e_1, e_2, \dots . Предположим, что $e_i = Ch_i^r$. По результатам 2-ух экспериментов можно оценить r :

$$r = \frac{\ln \frac{e_{i+1}}{e_i}}{\ln \frac{h_{i+1}}{h_i}}. \quad (1.13)$$

Результат:

```
n= 8 e=0.00057016 r=-0.285764
n= 16 e=0.00069505 r=2.118793
n= 32 e=0.00016003 r=-0.557871
n= 64 e=0.00023558 r=2.017781
n=128 e=0.00005817 r=-0.613936
```

Глава 2

Решение задачи на прямоугольной области с непрерывными граничными условиями Дирихле

2.1 Постановка задачи

$$\begin{cases} \Delta u = 0, \\ u(0, y) = 1 - y^2, \quad u(1, y) = 2 - y^2, \\ u(x, 0) = 1 + x^2, \quad u(x, 1) = x^2, \end{cases} \quad (2.1)$$

2.2 Аналитическое решение

Решением уравнения (2.1) является функция

$$u = 1 + x^2 - y^2. \quad (2.2)$$

2.3 Решение методом конечных элементов

2.3.1 Визуализация

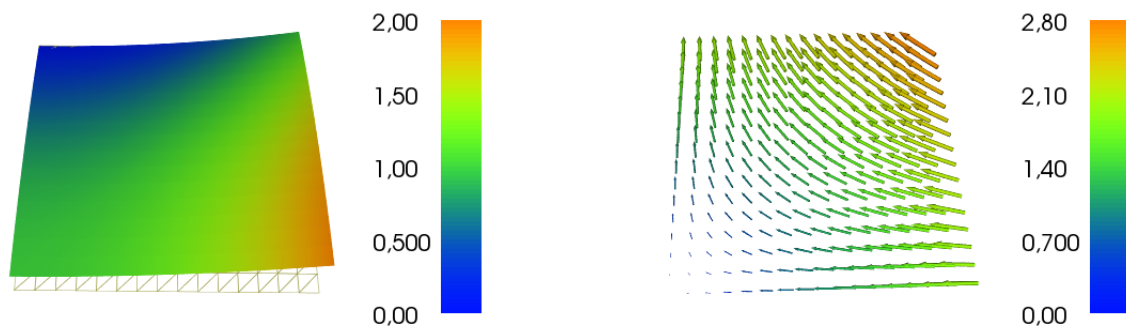


Рис. 2.1: Визуализация потенциала и напряжённости, полученных методом конечных элементов

2.3.2 Оценка скорости сходимости численного решения

Зададим шаг равномерной прямоугольной сетки $h = \frac{1}{n}$. Произведём эксперименты с $h_0 > h_1 > h_2 > \dots$ и получим соответствующие невязки e_0, e_1, e_2, \dots . Предположим, что $e_i = Ch_i^r$. По результатам 2-ух экспериментов

можно оценить r :

$$r = \frac{\ln \frac{e_{i+1}}{e_i}}{\ln \frac{h_{i+1}}{h_i}}. \quad (2.3)$$

Результат:

n= 4	e=0.00658808	r=1.999999999999993
n= 8	e=0.00164702	r=1.999999999999982
n= 16	e=0.00041175	r=1.999999999999973
n= 32	e=0.00010294	r=1.999999999999943
n= 64	e=0.00002573	r=1.999999999999871
n=128	e=0.00000643	r=1.999999999999731
n=256	e=0.00000161	

Можно сделать вывод, что погрешность метода имеет квадратичную зависимость от шага сетки.

Глава 3

Решение задачи в цилиндрических координатах

3.1 Постановка задачи

$$\begin{cases} \Delta u = 0, \\ u|_{r=a} = \frac{1}{a}, \\ u|_{r=b} = \frac{1}{b}. \end{cases} \quad (3.1)$$

3.2 Визуализация

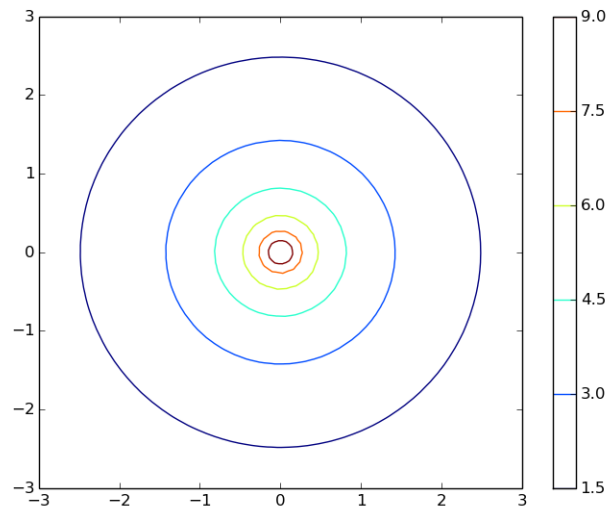


Рис. 3.1: График изолиний

3.3 Задача для тонкого диска

3.3.1 Постановка задачи

$$\begin{cases} \Delta u = 0, \\ \frac{\partial u}{\partial z} \Big|_{z=0} = !!!, \\ !!! \end{cases} \quad (3.2)$$

3.3.2 Слабая формулировка задачи

Заменим условие на бесконечности условием на достаточно большом радиусе, так как заряженный диск можно считать точечным зарядом на больших расстояниях.

Также, воспользуемся осевой симметрией и сведём трёхмерную задачу на цилиндре к двумерной задаче на прямоугольнике переходом от декартовых координат к цилиндрическим.

Оператор Лапласа в цилиндрических координатах:

$$\Delta u = \frac{1}{\rho} \frac{\partial}{\partial \rho} \left(\rho \frac{\partial u}{\partial \rho} \right) + \frac{1}{\rho^2} \frac{\partial^2 u}{\partial \varphi^2} + \frac{\partial^2 u}{\partial z^2}. \quad (3.3)$$

Домножим уравнение $\Delta u = 0$ на пробную функцию v и проинтегрируем по области $\Omega = (0, R) \times (0, h)$ и рассмотрим левую часть:

$$\int_{\Omega_X} \Delta_{(x,y,z)} u v d\Omega_X = \int_{\Omega} \left(\frac{\partial u}{\partial \rho} v + \frac{\partial^2 u}{\partial \rho^2} v \rho + \frac{\partial^2 u}{\partial z^2} v \rho \right) dx. \quad (3.4)$$